

Fig. 1A PRIOR ART

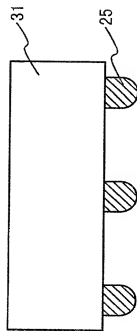
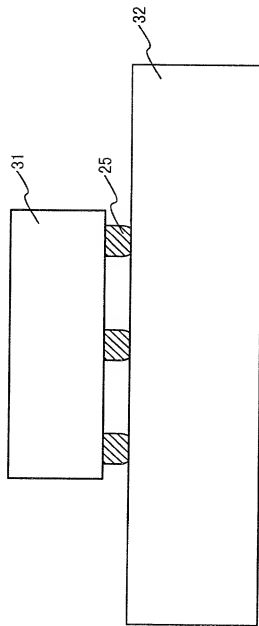


Fig. 1B PRIOR ART



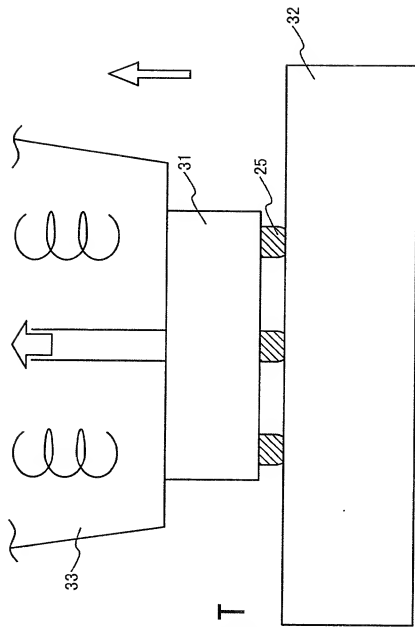


Fig. 1C
PRIOR ART

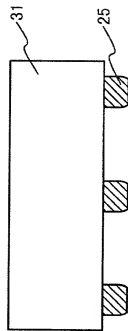


Fig. 1D
PRIOR ART

Fig. 2A

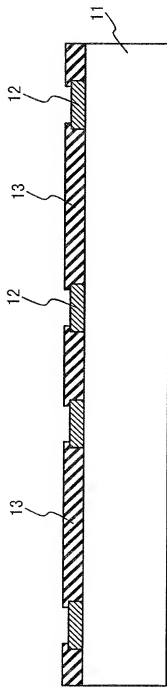


Fig. 2B

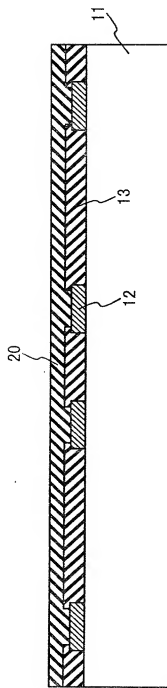


Fig. 2C

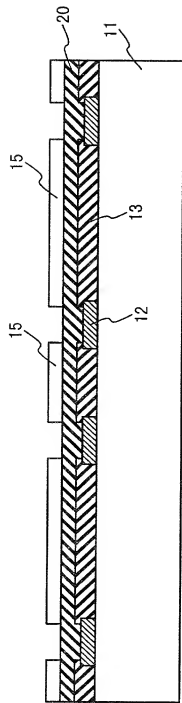
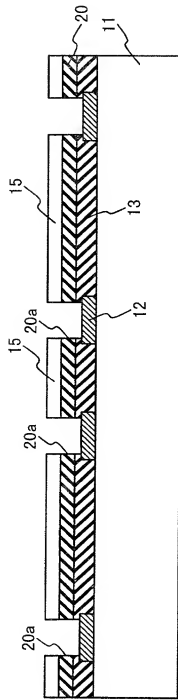
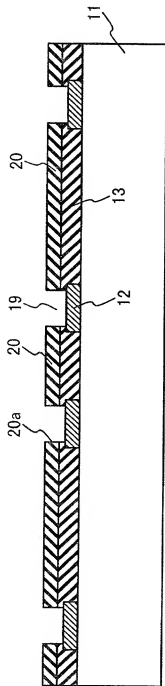


Fig. 2D



Fi 8.2E



Fi 8.2F

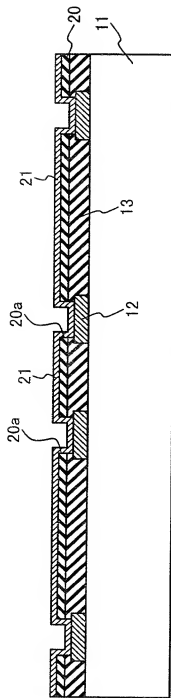


Fig. 2G

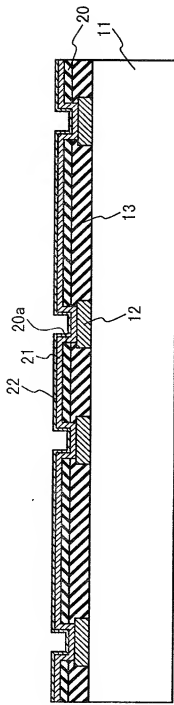


Fig. 2H

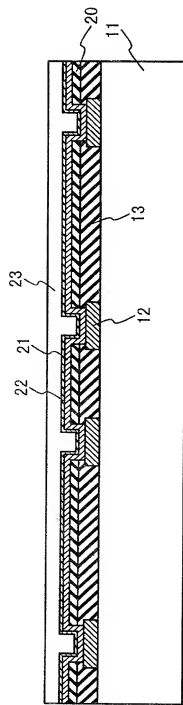


Fig. 2I

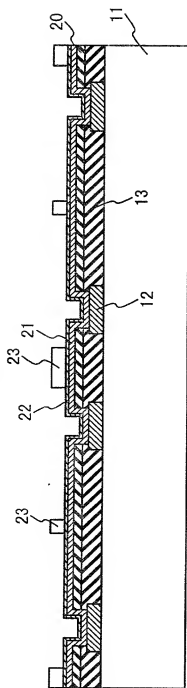
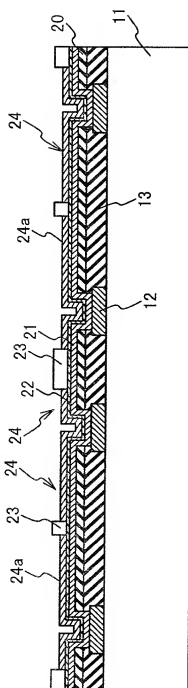
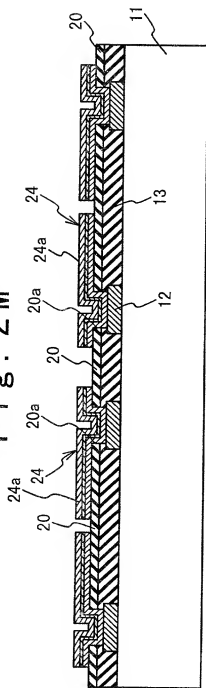


Fig. 2J



File 2M



F. S. N. 2

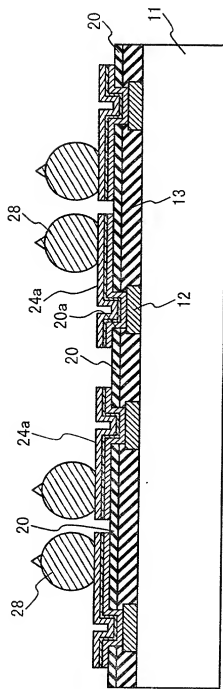


Fig. 20

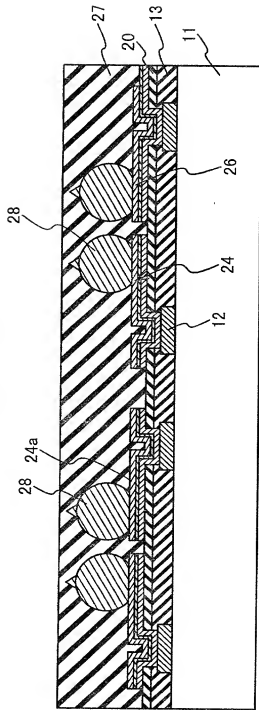


Fig. 2P

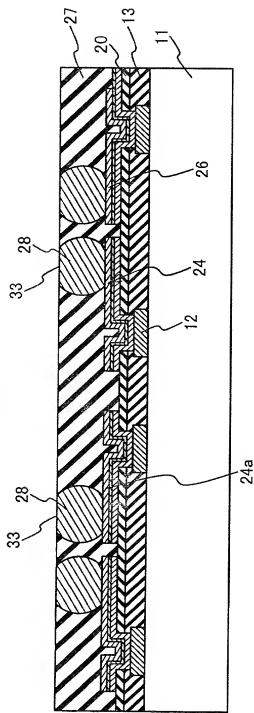


Fig. 2Q

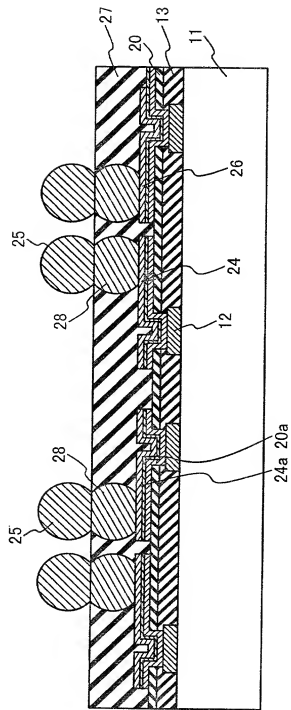


Fig. 2R

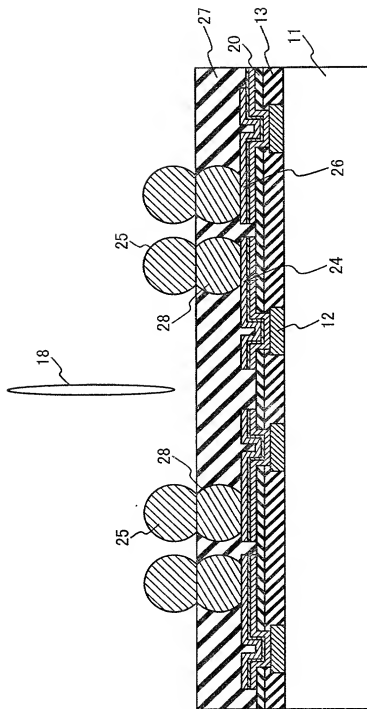


Fig. 2S

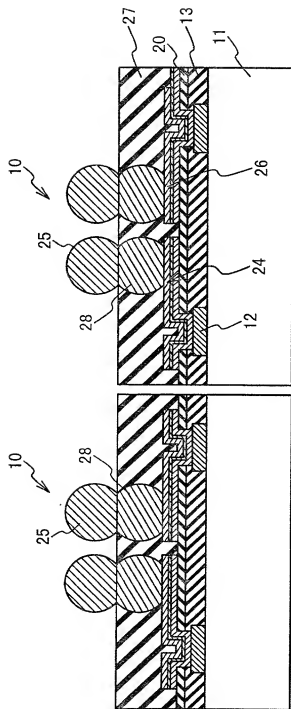


Fig. 3A

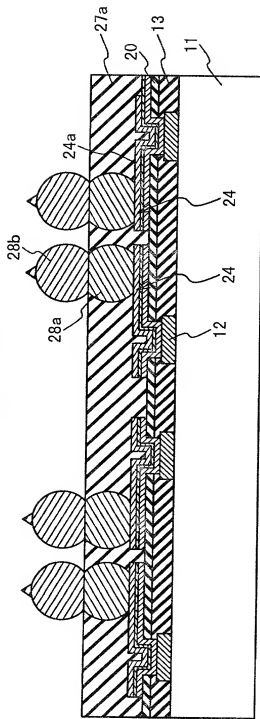
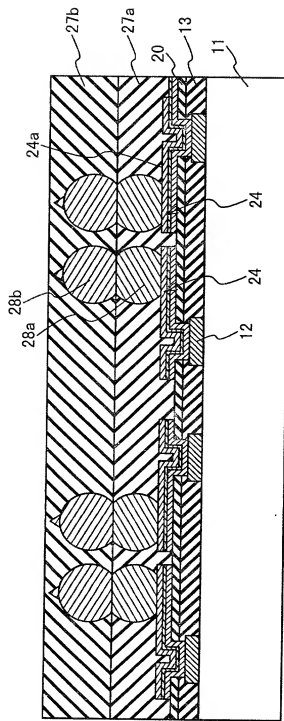
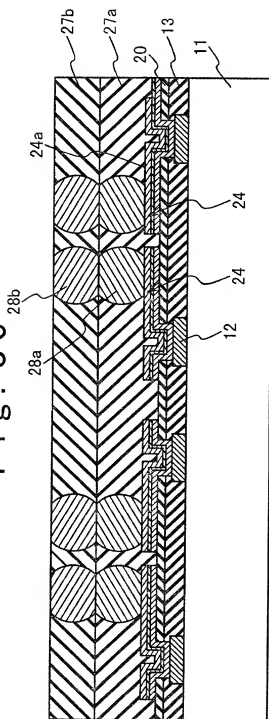


Fig. 3B



33-11



File 3D

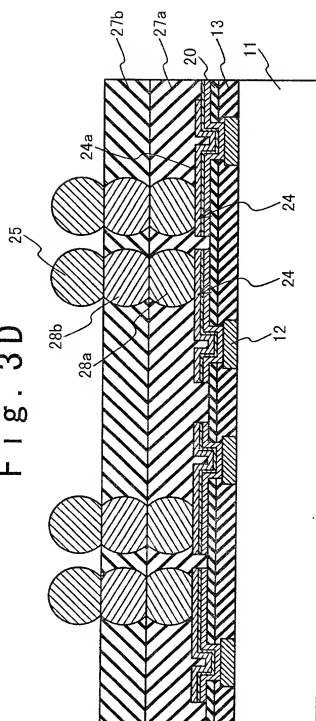


Fig. 3E

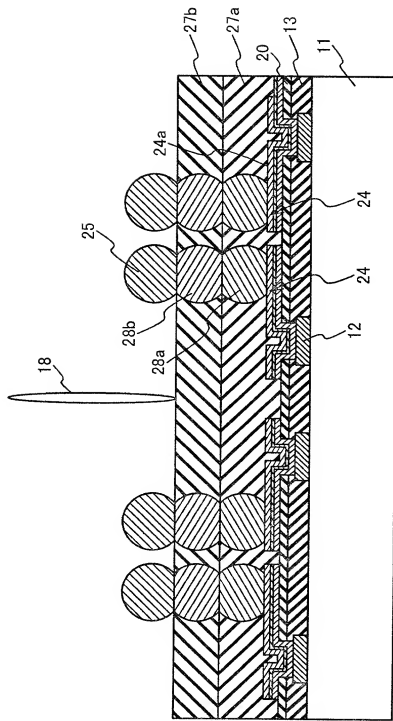


Fig. 3F

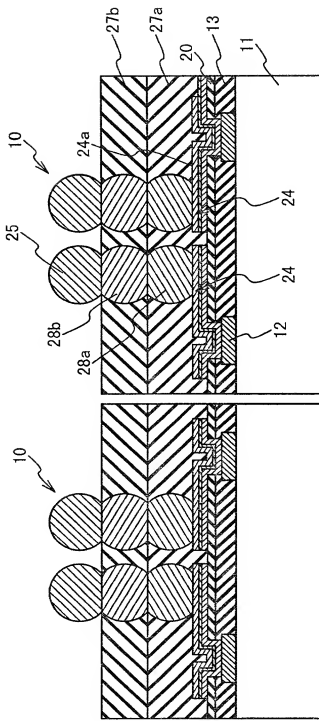


Fig. 4A

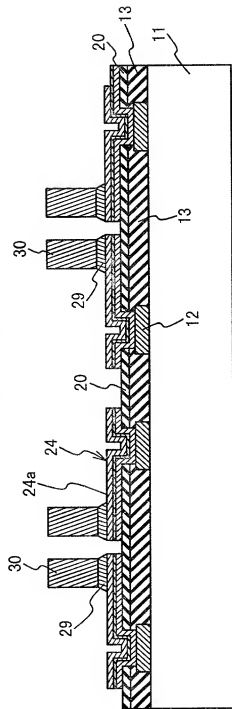


Fig. 4B

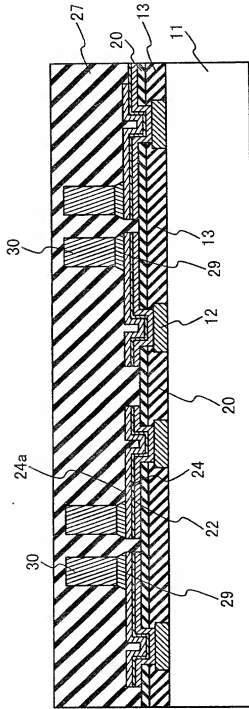


Fig. 4C

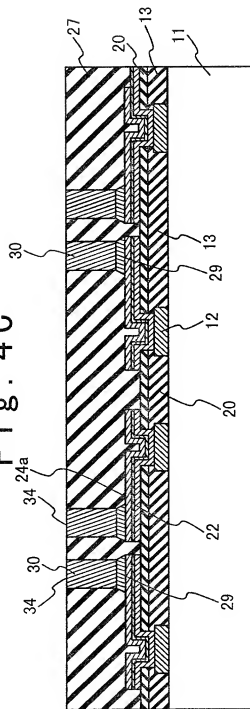


Fig. 4D

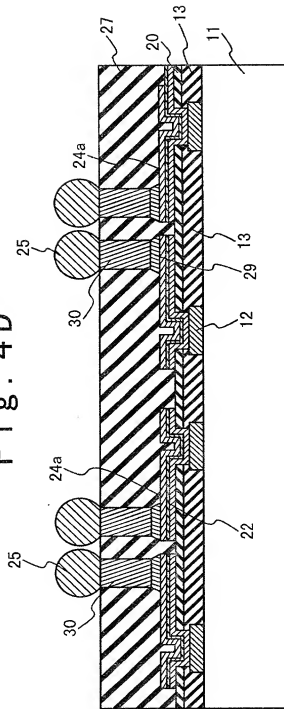


Fig. 4E

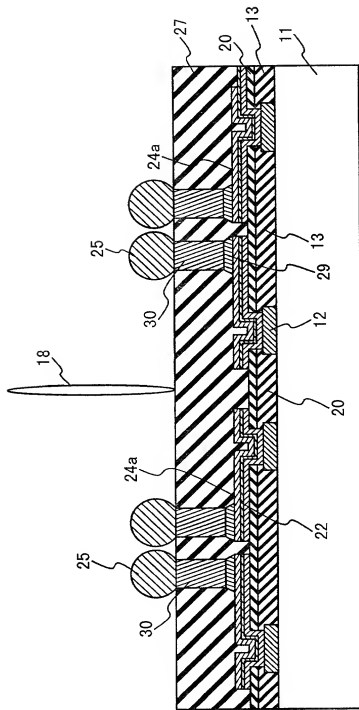


Fig. 4F

